

# 电力设备的防雷保护

苏联 A. И. 多尔根諾夫著

电力工业出版社

72.186

# 电力設備的防雷保护

苏联 A. И. 多尔根諾夫著

王文端 解广潤 王遵 劉繼譯

電力出版社

## 内 容 提 要

本書叙述了高压电力設備防雷保护的基本物理原理、防雷保护裝置的構造和保  
护方法。

本書供从事于高压电力設備的設計、安裝和运行工作的工程技术人员参考。

А. И. ДОЛГИНОВ

## ГРОЗОЗАЩИТА ЭЛЕКТРИЧЕСКИХ УСТАНОВОК

ГОСЭНЕРГОИЗДАТ МОСКВА 1954

## 电力设备的防雷保护

根据苏联国立动力出版社1954年莫斯科版翻译

王文端 解广潤 王遵 刘繼譯

\*

575D211

电力工业出版社出版(北京府右街26号)

北京市書刊出版業營業許可證字第082號

北京市印刷一厂排印 新华书店發行

\*

780×1092<sub>1/2</sub>开本 \* 8<sub>1/2</sub>印張 \* 190千字 \* 定价(第10类)1.30元

1957年5月北京第1版

1957年5月北京第1次印刷(0001—5,100册)

## 序

蘇維埃動力工程的確定不移的原則——對國民經濟的連續不斷供電——要求電氣設備無事故運行。

高壓設備中電力網的無事故運行，主要決定於絕緣及作用於絕緣上的電壓。當電力系統正常運行時，各導電部分的絕緣是處於電力網相電壓的作用下的。這時，只有很小的電壓作用於變壓器及電機的線圈間與層間絕緣上。但是由於各種原因，在電力系統中某些部分的電壓可能昇高，而大大超過正常情況下的電壓。此種可能使絕緣發生危險的電壓昇高，即稱為過電壓。

過電壓可分為內部過電壓與大氣過電壓。

當電力網中進行操作時，當發生不對稱短路而引起某種過渡狀態時，以及當弧光接地時，均可產生內部過電壓。內部過電壓的幅值用設備額定相電壓的倍數來表示，約為2.5—3.5倍。

電氣設備的絕緣水平是按照內部過電壓的作用來估計的。只有在絕緣的缺陷日益發展或者在非常少有的不良操作的情況下，內部過電壓才能引起設備故障。

雷云放電落於電氣設備上時，可產生大氣過電壓。正如經驗證明，這種現象是很常見的。如無特殊保護時，由於雷云放電能產生數百萬伏的過電壓電波。這種過電壓足以使任何額定電壓的設備發生絕緣閃絡或擊穿。

在電力系統中，大氣過電壓以電波的形式傳播並侵襲於電力系統的所有設備，特別是電器和變壓器的卷線。此時所產生的過渡過程，使電器和變壓器內部絕緣上所作用的電壓急劇昇高。因此，防止大氣過電壓的保護，是電力系統安全運行不可缺少的要素。

在苏联正进行着防雷問題的有計劃的科学研究。比較年青的“实用科学部門——“电气設设备防雷保护”，已有很大的發展并已胜利完成其所面临任务。

苏联科学院动力研究所及全苏电工研究所，对雷电物理学及在防雷技术上的重要雷云放电参数进行了研究。

在1930—1940年这段时期內，在研究性实验室工作人員及电力系統工作人員的合作下，曾創造了綫路及变电所防雷保护結綫方式，其中的主要部分目前仍在繼續沿用着。这些結綫方式已經可能大大地減少雷电事故。大型电力系統中所組織的防雷及絕緣科，在电力網防雷工作中起了显著的作用。

阿·阿·斯莫洛夫(А. А. Смуро夫)教授实验室的工作人員，在創制第一批“射击式”避雷器和管型避雷器方面，以及在确定絕緣冲击强度方面作出了巨大的貢献。在这个实验室中，編制了高压电網防雷保护的第一个設計。

哈尔科夫电工学院(現为工学院)高压工程实验室对接地裝置的冲击特性和电波在綫路上的衰減現象进行了研究。

战后，在防雷保护方面的工作已經达到了与苏联动力工业所面临的新任务相适应的規模。

全苏电工研究所已經研究出取得避雷器所用新型閥性材料(維利特)的技术过程。

苏联变压器制造界，成功地解决了許多涉及雷电稳定性，冲击强度以及絕緣配合等不明确的問題。創造了变压器卷綫內瞬間過程的完善理論。由于莫斯科变压器厂及全苏电工研究所設計人員及研究人員的卓有成效的工作，已創造了高压耐雷变压器的結構，使变压器在簡單保护裝置的保护下，具有优良的冲击特性。

在阿·阿·高列夫(А. А. Горев)教授領導下，列宁格勒工学院在高压的电量物理学、火花放电及瞬間過程等方面进行了广泛的研究工作。在莫·維·柯士欽科(М. В. Костенко)“大气过电压”(国立动力出版社 1949 年版)一書中所闡述的此等研究，为創造輸电綫路与变电所耐雷水平的新穎計算方法奠定了基础。

近几年来，在功勳科学技术工作者勒·依·西罗欽斯基(Л. И. Сиротинский)的领导下，在莫斯科动力学院进行了有关变电所与旋转电机保护結綫方式，綫路耐雷水平計算方法，其中包括感应过电压的实验研究以及冲击情况下接地裝置性能等多方面的研究工作。由于这些研究工作与实际工作是相結合的，就使其結果能广泛地应用于电站电工部的各种現行規程中。

在战后的数年来，苏联电站电工部的中央电工科学研究試驗所(ЦНИЭЛ)完成了关于綫路防雷保护的重要研究工作，他們对电力系統防雷工作运行指标的科学分析以及对开放性电力电弧的研究工作，在防雷保护方面已可成为重要的实用結果。根据这些研究工作所采取的决定是具有很大的經濟意义的，它不仅使保护費用低廉并且使运行簡便。綫路的自动重合閘在現今防雷保护的全面实际工作中已起着卓有成效的作用。正确地考慮木質絕緣的作用，便可以使我們避免利用管型避雷器来保护綫路，而采用管型避雷器保护是价昂的，而且对运行來說是相当煩難的。

电站和电工器材工業部已經有系統地总结了过电压保护科学研究工作的結果和运行中积累的經驗。

就問題的多面性、复杂性与新颖性來說，制訂“3—220千伏交流电气设备过电压保护导則”乃是最为龐大而艰鉅的工作。根据积累的理論、实验与运行經驗，在30年代中期所頒佈的“导則”，已經有系統地被修改与深入鑽研，并且在提高电气設備运行可靠性上起了显著的作用。

由于将所研究的过电压保护結綫方式、方法与器具投入实际运行，雷害事故立即显著降低，而高压设备的损坏已經成为稀有現象。苏共第十九次代表大会关于苏联电气化的決議，在苏联电工界与动力工业面前提出了新的任务，其中也包括有高压技术方面的任务。特別是过电压保护器具及方法的合理化，使之在运行上与經濟上获得最大效果，有着很大的可能。

在本書下述各章中，讀者可以了解到电力設备防雷保护的基本物理原理与技术。

本書第一章論及雷云放電的性質問題。而第二與第三章則研討過電壓保護設備的原理、結構及特性。

在第四與第五章中，在研究雷云放電、直擊雷保護方法以及避雷器衝擊特性的基礎上，研究線路與變電所的防雷保護。

在第六章中研討在架空線路上運行的旋轉電機的保護結構方式。在這方面，迄今尚未達到可以使電機與架空線路相聯而完全安全的成就。現有的各項建議多根據實驗室內的研究，而根據運行數據則較少。

在第七章即結尾一章中，將研究防雷保護設備（主要是閥型與管型避雷器）的監護與試驗方法，同時也提出關於線路與變電所雷害事故分析的建議。

附錄 I 有補充一章的性質，大略介紹在線路與結構中瞬間過程的基本規律。此附錄專為希望在防雷保護技術方面較為深入學習的讀者之用。

在附錄 II 中，介紹有“電器”工廠以前所出品的閥型（契利特）避雷器的特性表。

在本書編寫中，著者曾獲得莫斯科電業管理局高壓管理所絕緣與過電壓保護科的工作同志們、火電設計院系統運行組的工作同志們以及莫斯科變壓器廠實驗室的工作同志們的寶貴意見。著者特向他們表示衷心的謝意。本書的計劃及其編寫中的主要階段均曾在全蘇動力函授學院發電廠教研組進行討論。波·格·格魯金斯基（П. Г. Грудинский）教授曾對本書賦予經常的关怀，是著者深表感謝的。

# 目 录

## 序

第一章 雷电及其作用 .....	7
1-1. 雷云放电的發展 .....	7
1-2. 雷电流 .....	11
1-3. 雷电流的作用 .....	16
1-4. 雷云的活動特性 .....	18
第二章 避雷針(綫)及接地裝置 .....	21
2-1. 避雷針(綫)的保護作用及模擬方法 .....	21
2-2. 避雷針的保護範圍 .....	22
2-3. 避雷針的構造 .....	29
2-4. 避雷綫的保護範圍 .....	31
2-5. 避雷針(綫)的接地裝置 .....	33
2-6. 計算用土壤电阻率 .....	43
2-7. 輸電線路接地裝置的合理型式 .....	45
第三章 避雷器 .....	47
3-1. 火花間隙的衝擊特性 .....	47
3-2. 閘型避雷器主要元件 .....	53
3-3. 閘型避雷器的結構及特性 .....	53
3-4. 閘型避雷器的安裝及裝置結構 .....	69
3-5. 閘型避雷器動作記錄器 .....	72
3-6. 保護變流器匝間絕緣的避雷器 .....	73
3-7. 保護低壓設備的避雷器 .....	74
3-8. 管型避雷器主要元件 .....	74
3-9. 管型避雷器的結構及特性 .....	77
3-10. 管型避雷器的結構及型式的選擇 .....	82
3-11. 管型避雷器的安裝 .....	88
第四章 輸電線路防止大氣過電壓的保護 .....	92
4-1. 輸電線路的絕緣 .....	93
4-2. 輸電線路上電力電弧的發生與燃點的條件 .....	95
4-3. 輸電線路上的大氣過電壓 .....	100

1466447

4-4. 輸電線路保護的一般原則	110
4-5. 154—220 千伏線路的保護	115
4-6. 110 千伏線路的保護	117
4-7. 35 千伏線路的保護	120
4-8. 3—10 千伏線路的保護	123
4-9. 輸電線路交叉處的保護	125
4-10. 輸電線路跨越杆塔及档距的保護	130
4-11. 避雷線經火花間隙接地	131
<b>第五章 變電所的保護</b>	<b>134</b>
5-1. 變壓器卷線內的瞬變過程	134
5-2. 變壓器的衝擊強度	149
5-3. 變電所絕緣子的衝擊強度	155
5-4. 用閥型避雷器保護變電所的絕緣	159
5-5. 35—220 千伏變電所對於從線路襲來的過電壓波的保護	163
5-6. 具有脆弱絕緣的 35—220 千伏變電所的保護	171
5-7. 35 千伏及以上電壓等級變電所內 3—10 千伏配電裝置的保護	172
5-8. 防止變電所遭受直擊雷的保護	175
5-9. 配電網的保護	177
<b>第六章 旋轉電機的保護</b>	<b>180</b>
6-1. 旋轉電機的絕緣與卷線內的過渡過程	181
6-2. 旋轉電機保護的設備及結線	185
<b>第七章 過電壓保護裝置的運行</b>	<b>191</b>
7-1. 閥型避雷器的運行	192
7-2. 管型避雷器的運行	197
7-3. 避雷針及避雷器接地電阻的測量	199
7-4. 雷電事故及雷擊的分析	202
<b>附錄 I 在線路上和在結線系統中的瞬變過程</b>	<b>208</b>
II-1. 無損長線上波的過程	208
II-2. 波在有損長線路上的過程	210
II-3. 在長線路多導線系統中波的過程	215
II-4. 波在線路結點的反射與折射	221
II-5. 在有限長度的線路上的多次反射	227
II-6. 在接有避雷器的結線中的過渡過程	230
<b>附錄 II “電器”工廠的閥型避雷器(契利特避雷器)的電氣特性</b>	<b>236</b>
<b>參考文獻</b>	<b>237</b>

# 第一章 雷电及其作用

## 1-1. 雷云放电的發展

雷云的产生——这偉大的自然現象——从古至今是許多人的研究对象。雷云形成的近代的理論可用如下的情況來說明：在大气中，飽和的水蒸汽在强力的上升气流作用下，产生水滴的分裂过程。實驗証明，在分裂过程中所形成的微細水滴是帶負電的，而其余的大水滴則是帶正电的(圖1-1)。風將帶負电的水滴吹散到相当远的距离，成为雷云的基本塊体。帶正电的水滴以雨的形式降落到地面，或保持悬浮状态，在雷云中形成正电荷的局部积聚。如此，由于異号电荷的机械分离以及在云的不同部分很多單極性体积电荷的集中而招致的云的电化是雷云現象的开始。

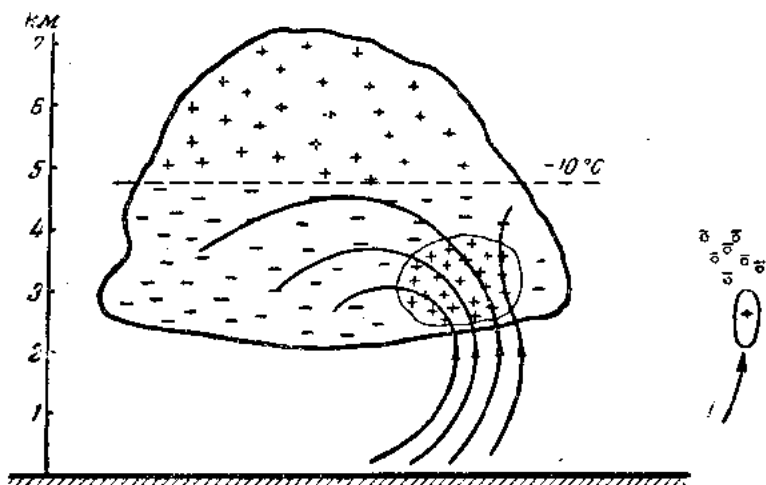


圖 1-1 雷云中的电荷与气流

用球形探测器測量的結果表明，高于  $-10^{\circ}$  等温綫的云的上層聚集有正电荷。在这一層中，与冰結晶电化現象有关联的电荷分离的另一种機構在起作用。

下方主要帶負電荷的雷云形成了巨大的電容器，它的另一“極板”是大地，在地表上感應有正電荷。這樣一個雷云——大地所形成的電容器的平均電場強度很少超過100千伏/米。但是這一數字是指的均勻電場，在個別電荷密度大的地方，就構成了電暈放電的條件。尤其在大地上，可觀察到從尖端物体的閃光放電。在雷云或大地的電場強度達到臨界值(25—30千伏/厘米)的情況下，就造成闪电的發展條件。在所有雷云放電形式中(云間放電，球雷、念珠雷等)，最關重要的是雷云與大地之間的放電所形成的綫型雷，因為使電力設備遭受損壞的絕大部分是與這種放電有關的。

雷云放電的主要輪廓與發生於空氣中的兩導體電極間的長火花相同；和它尚有一系列的特點不同，這些特點與作為放電間隙的電極之一的雷云的物理特性有關。

現在根據蘇聯科學院的動力研究所、全蘇電工學院和電站電工部動力系統中很多實驗室和現場的研究結果，我們確定了雷云放電發展的物理景象及雷電的特性，這在電力設備防雷保護設計方面是具有重大意義的[文獻1、2、3]。

雷云與大地之間的放電通常是由雷云到大地發生微弱的閃光通道開始，以 $10^7$ — $10^8$ 厘米/秒(100—1000公里/秒)的速度衝動地前進。這種預先放電叫做階段式先驅放電。每階段的平均長度約為50米。各脈沖間的間歇約為30—90微秒。每階段的擴展速度可達 $10^9$ 厘米/秒。

圖1-2表示雷云放電的一般發展情況。在上部(圖1-2,a)是將放電攝于移動膠卷時的放電發展光學圖。階段先驅用先端帶閃光段的細綫段來表示，此等閃光段即相當於階段的擴展。先驅表示為分歧狀。通常只有一個先驅通路分枝達到大地。

當先驅達到大地時，即開始了主放電階段，後者正是肉眼所看到的雷云放電本體。根據光學記錄，主放電成為強烈發光的波，由大地向雷云前進(圖1-2,a中粗綫)。此發光的波稱為主通路。主放電的速度在大地附近等於 $\frac{1}{3}$ — $\frac{1}{5}$ 光速，相當於100—60

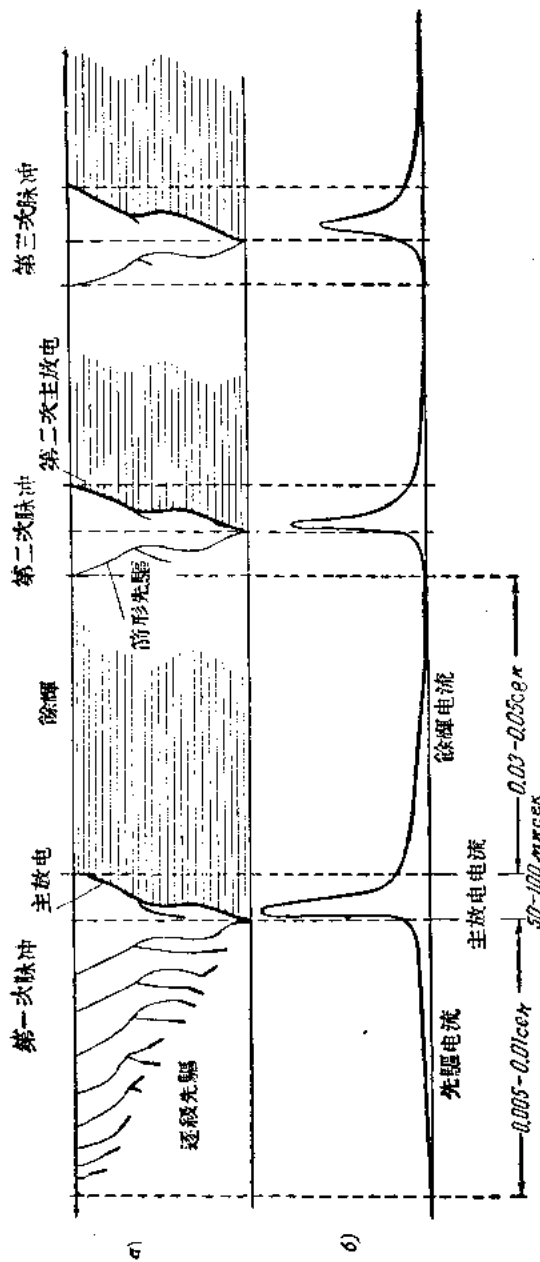


圖 1-2 雷電的發展  
a—光學圖片；b—電流量片。

米/微秒。离大地愈远，其发光的强度和放电的速度即愈降低。

强烈发光的波到达云以前主放电即告完成。后面的阶段(圖1-2, a中陰影范围内)雷电通路的光亮显著降低，但所謂“余輝”的发光可延至千分之几秒至百分之几秒。一个脉冲的結構以余輝阶段而告完成。

雷云放电約有50%的情形是具有重复性的，一个放电平均包括3—4个脉冲。有时也觀察到一些脉冲数目很多的放电。重复脉冲的先驅，即所謂矢形先驅，沒有阶段性，并以 $10^8$ — $10^9$ 厘米/秒的速度不間断地按第一个放电路徑前进。其余重复脉冲的構造与上述情况沒有什么不同。

相当于雷云放电發展光学圖片的雷电流曲綫如圖1-2, 6所示。雷电先驅可粗略地以从雷云到大地的下降导电通路来表示(圖1-3)，該通路具有很大的負电荷密度(按單位長度而言)，后者以 $\tau$ 庫倫/米表示。可以假定，由于在先驅長度上的相当大的电位降，密度 $\tau$ 由雷云到大地亦行降低。

当先驅达到大地时，沿着它的通路由大地向雷云傳播相当于先驅负电荷入地的放电电波，傳播速度很大。此放电电波是主放电，它的特征是雷电通路强烈发光。放电电波造成通过雷电通路和被击物体的电流。这一电流称为雷电流，是与电力设备中过电压波的發生有关的。若以 $v$ 米/秒代表放电电波(主放电)的速度，则雷电流可用下列簡單的关系式表示之。

$$i = \tau v. \quad (1-1)$$

因为主放电的速度很大，雷电流振幅可达数十甚至数百千安，但是，雷电流延续時間主要由于放电电波沿先驅通路傳播的時間来限制。

圖1-4表示雷电流示波圖[文献2]。雷电流在几微秒內增長到振幅值。这一段电波称为波头。电压的下降部分称为波“尾”，長达數十微秒。

主放电引起雷电通道导电率的急剧上升。云中的剩余电荷在主放电完成时通过这个通路。在这一阶段的电流(普通叫作余輝

(电流)可达数百安，仅在罕有情况下可达数千安。开始雷云放电的那一部分雷云的主电荷被这个电流经过雷电通路带走。在余辉阶段中，雷电和云与大地間的直流电弧相似。这个电弧能維持百分之几秒。雷云放电的第一个脉冲以电弧的消灭而終止。

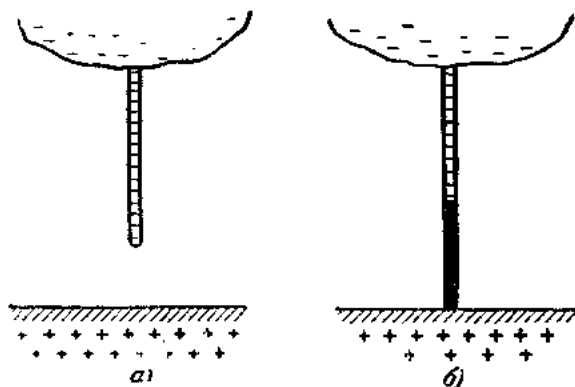


圖 1-3 雷电流的發展  
a—在先驅阶段电荷的积聚; b—在主放电阶段电荷的中和。

上面我們已經指出，沿着第一次放电的通路常常有重复脉冲發生。很明显，重复脉冲的原因是在中和区域与相邻的电荷积聚区之間的雷云内部放电。一般重复脉冲的雷电流都比第一次脉冲的电流小。

雷电放电的全部時間可达十分之几秒。雷电放电曾有持續到1.33秒的。雷所运送的总电荷普通在1—5 庫倫範圍以內。

在上述的情况中，先驅放电由雷云向大地發展。当雷向高建筑物放电时，可能产生迎面先驕。先驕放电的负通道和正通道在地面上某一高度相接触，于是即开始主放电。

## 1-2. 雷 电 流

在电力设备耐雷性計算中，原始数值不是雷电压，而是雷电

流；因为雷电流是可以直接测得的。

一般采用磁钢记录器测量雷电流的振幅，其原理可简述如下。在避雷针或输电线路杆塔上，用一个支持物装置一种由磁性材料做成的小棒，即所谓磁钢记录器（如图 1-5 所示）。

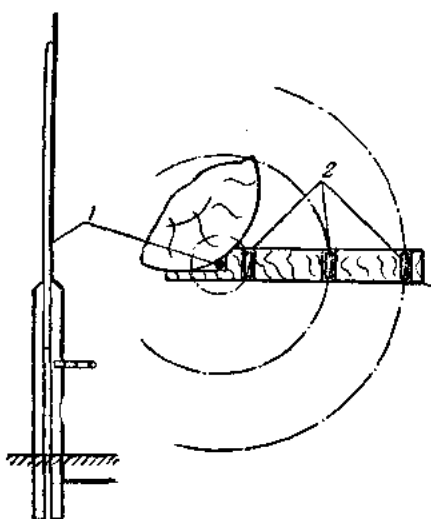


圖 1-5 避雷針上的磁鋼記錄器裝置  
1—接地引下綫；2—磁鋼記錄器。  
圖中點綫表示當有電流沿接地引下綫通過時所發生的磁力綫。

当雷电流通过时，沿磁力线所装置的小棒即被磁化。在雷雨季末，便将此磁钢记录器取下，用检磁表来测量它的磁化程度，再依校正曲线即可确定其中流过的电流。磁钢记录器由铝镍合金粉末与铁粉混合压制而成并加以绝缘漆，这样可以保证很微小的涡流损失及高度的保磁力①。

磁钢记录器是电站电工部“配电盘”工厂所制造。其安装及运行可依电站电工部中央科学研究院试验所所编写的规程执行②。

利用磁钢记录器大批测量雷电流的波幅值，即可繪制全国各个不同地区的雷电流或然率曲线并可确定某一数值的雷电流出现的频度。根据研究也确定了雷电流与土壤电阻率  $\rho$  的关系。如所週知，此种关系与雷云放电先驱过程的發展条件有关。当接近大地表面时的先驱放电电流由位移电流及土壤中的电导电流而闭合，如图 1-6 中所示。由于土壤电阻率的增加，在大地中的电流滲入很深部分（此可由週知的集膚效果之公式了解）。在雷击点附近的大地表面上电荷集结不多的情况下，便可转入主放电阶段，

① 所谓保磁力即是为消除試品中的剩磁所需的去磁磁场强度。

② 苏联电站部1951年版“冲击电流磁钢记录器的安装及运行规程”。

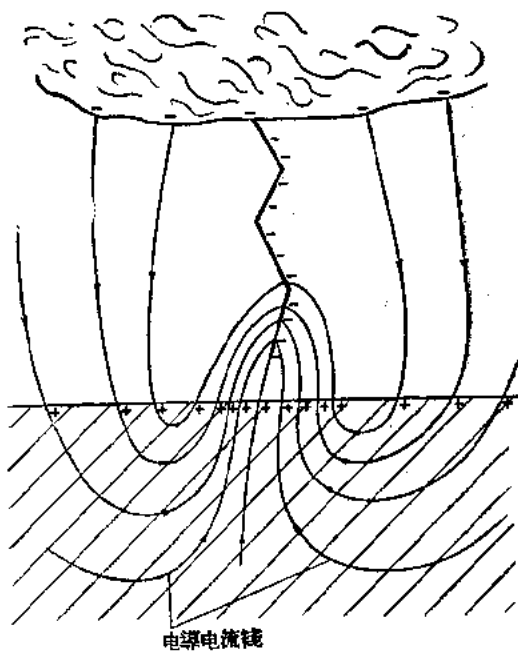


圖 1-6 雷电發展先驅阶段中電荷流向雷击地点的情况

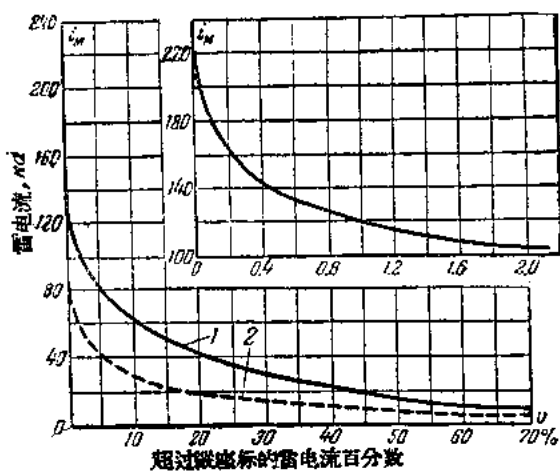


圖 1-7 雷电流或然率曲綫  
1—在雷击点具有較小过渡阻抗的平原地区；2—在山岳地区。

这就使得主放电电流減低。雷电流与土壤电阻率之間的关系特別可以引起在平原地帶的电流与山岳地帶的电流显著不同[文献3]。

雷电流也和雷击点的散流电阻值  $R$  有直接关系。很自然,  $R$  愈大, 雷电流則愈小。但对于在电力設備接地所采用的甚小阻抗的范围内, 测量数据并未指出雷电流与接地电阻  $R$  之間存在任何关系。因此, 普通認為在“良好接地的物体”中的雷电流( $R$  为数十欧以內者)与接地电阻的数值無关。

圖 1-7 所繪雷电流或然率曲綫, 是用磁鋼記錄器在平原地区实測的結果制成的(实綫)。

在横座标上标记有超过縱座标所示数值的电流或然率  $v$  (以百分数表示)。此种雷电流或然率曲綫在耐雷性計算上用來非常方便, 例如, 用計算方法决定出, 高于50千安的雷电流將在輸电綫路上引起絕緣閃絡, 我們就可直接依圖 1-7 曲綫找出, 在 100 次綫路直击雷中, 有15次引起絕緣閃絡。

或然率曲綫指出, 最大多数的雷电流是在50千安之内。60—80千安的电流即很少被觀察到, 而 100 千安以上的电流更是極为罕有, 因此, 只有在設計大容量电力設備时才有考慮的必要。

在山岳地区, 因其土壤电阻率甚大, 雷电流大为減小, 对于此等地区, 我們可以当作雷电流波幅降低到二分之一。圖 1-7 中的点綫曲綫即表示山岳地区的情况。

这个曲綫也是对于过渡阻抗約为数百欧的放电情况而言。例如, 此种情况可能在雷电对导綫放电时發生, 此时, 雷电流即被綫路波阻所限制。

按照雷云中电荷的分佈, 雷电流大多数是負極性的。同时也有較少見的正極性雷云放电, 有时具有甚大的雷电流。这可以用在雷云中正电荷的密度甚大以及正極性充电的先驅閃电路的扩展情况来解釋。

在耐雷性計算中, 雷电流昇高速度(以 千安/微秒 計算)是一項重要的特性。雷电流昇高速度(电流波头陡度)用安装于避雷針上的小框来测量(圖1-8)。当雷电流通过避雷針时, 設其波头陡